



Laboratorium EMVO Sp. J. Urbański, Pawelak  
ul. Jasna 1  
00-013 Warszawa

tel. +48 22 780 29 64  
e-mail: laboratorium@emvo.pl



AB 1630

## Sprawozdanie z pomiarów pól elektromagnetycznych - środowisko nr 2/03/OŚ/2023 - ATE/WA



Nr i nazwa stacji	BT11754_LUB_1_MAJA	
Adres	20-408 Lublin ul. 1 Maja 44, dz. nr 1/4 (obr. 10, ark. 5) gm. Lublin, woj. lubelskie	
Opracowanie		Specjalista ds. pomiarów
Autoryzacja		Kierownik Laboratorium
Podpis	Podpis jest prawidłowy Dokument podpisany przez [redacted] Data: 2023.03.13 08:21:20 CET Powód: Zatwierdzam dokument	
Data	2023-03-09	

## Spis treści

1. Informacje ogólne.....	3
2. Podstawa prawna.....	3
3. Opis pomiarów.....	3
4. Zróżnicowanie dopuszczalne poziomy pól elektromagnetycznych.....	5
5. Charakterystyka źródeł PEM.....	5
6. Wyniki pomiarów.....	5
7. Stwierdzenie zgodności.....	6
8. Oświadczenie.....	7
9. Spis załączników.....	8

## 1. Informacje ogólne.

Zleceniodawca	<b>ATEM – Polska Sp. z o.o.,</b> 20-315 Lublin, ul. Witosa 3 Osoba udzielająca informacji – [REDACTED]
Istotne informacje dostarczone przez klienta	komplet informacji niezbędnych do wykonania pomiarów i opracowania sprawozdania
Dane otrzymane od klienta mogące mieć wpływ na ważność wyników	Dane anten sektorowych, dane anten radioliniowych, parametry pracy instalacji, ustawienie pochylenia anten
Prowadzący instalację	<b>TOWERLINK POLAND SP. z.o.o.,</b> ul. Kasprzaka 4, 01-211 Warszawa
Lokalizacja obiektu	20-408 Lublin ul. 1 Maja 44, dz. nr 1/4 (obr. 10, ark. 5) gm. Lublin, woj. lubelskie
Miejsce instalacji anten	Dach budynku
Miejsce instalacji urządzeń	Outdoor
Osoby wykonujące pomiar	[REDACTED]
Data wykonania pomiaru	09.03.2023
Temperatura na początku pomiaru [°C]	0,0
Temperatura na koniec pomiaru [°C]	0,0
Warunki atmosferyczne	Brak opadów
Wilgotność na początku pomiaru [%]	94,0
Wilgotność na koniec pomiaru [%]	94,0
Godzina na początku pomiaru	8:40
Godzina na koniec pomiaru	10:30
Inne źródła pól elektromagnetycznych oznaczone na załączniku graficznym	Nie występują
Parametry pracy instalacji	Tryb eksploatacyjny

## 2. Podstawa prawna.

### 2.1 Normy i rozporządzenia:

- Rozporządzeniem Ministra Klimatu z dnia 17 lutego 2020 r. w sprawie sposobów sprawdzania dotrzymania dopuszczalnych poziomów pól elektromagnetycznych w środowisku (Dz.U. 2020 poz. 258)
- Rozporządzenie Ministra Zdrowia z dnia 17 grudnia 2019 r. w sprawie dopuszczalnych poziomów pól elektromagnetycznych w środowisku (Dz.U. 2019 poz. 2448)
- Obwieszczenie Marszałka Sejmu Rzeczypospolitej Polskiej z dnia 29 września 2021 r. w sprawie ogłoszenia jednolitego tekstu ustawy - Prawo ochrony środowiska (Dz.U. 2021 poz. 1973)
- Rozporządzenie Ministra Klimatu i Środowiska z dnia 6 maja 2022 r. zmieniające rozporządzenie w sprawie sposobów sprawdzania dotrzymywania dopuszczalnych poziomów pól elektromagnetycznych w środowisku (Dz.U. 2022 poz. 1121).

„Bez pisemnej zgody Laboratorium niniejsze sprawozdanie nie może być powielane inaczej, jak tylko w całości. Ponadto wyniki dotyczą tylko badanych obiektów przywołanych w niniejszym sprawozdaniu z badań”

### 3. Opis pomiarów

Metodologia pomiarowa	Pomiary w oparciu o Rozporządzeniem Ministra Klimatu z dnia 17 lutego 2020 r. w sprawie sposobów sprawdzania dotrzymania dopuszczalnych poziomów pól elektromagnetycznych w środowisku (Dz.U. 2020 poz. 258) oraz Rozporządzenie Ministra Klimatu i Środowiska z dnia 6 maja 2022 r. zmieniające rozporządzenie w sprawie sposobów sprawdzania dotrzymywania dopuszczalnych poziomów pól elektromagnetycznych w środowisku (Dz.U. 2022 poz. 1121).
Cel badań	Określenie wartości natężenia pola elektrycznego w miejscach dostępnych dla ludności.
Opis zestawu pomiarowego	Miernik Narda NBM 520, Sonda EF 9091, o zakresie pomiarowym 0,7 V/m - 300V/m pracująca w paśmie 0,1 – 90 GHz, świadectwo wydane przez Laboratorium Wzorców i Metrologii Pola Elektromagnetycznego, Instytut Telekomunikacji, Teleinformatyki i Akustyki Politechniki Wrocławskiej. Świadectwo ważne do 07.07.2023. Miernik Narda NBM 520, Sonda EF 9091 pracująca w zakresie temperatury -10°C - +50°C oraz wilgotności 5% - 95%. Niepewność rozszerzona wynosi 57,4% przy poziomie ufności 95% z uwzględnieniem współczynnika rozszerzenia k=2.
Wyposażenie pomocnicze	Termohigrometr Termoprodukt, typ: Termik+, Nr. inwentarzowy 37/WL, nr identyfikacyjny 700618, świadectwo wzorcowania nr 1763/AH/19 z dn. 29.07.2019 r. wydane przez Laboratorium Pomiarowe "MUTECH". Przymiar wstęgowy STABILA, Nr. inwentarzowy 36/WL, nr identyfikacyjny 31WL, świadectwo wzorcowania nr 6W1/1826/19 z dn. 02.08.2019 r. wydane przez Dyrektora Okręgowego Urzędu Miar w Gdańsku. GPS Garmin 64s okresowo sprawdzany w punktach osnowy geodezyjnej klasy 3 na podstawie licencji punktu, zgodnie z procedurą sprawdzeń okresowych IS/PO16-11/03.
Pomiary zostały wykonane	<ol style="list-style-type: none"><li>1. na głównych i pomocniczych kierunkach pomiarowych, na kierunkach zbliżonych do azymutów anten oraz w dodatkowych pionach pomiarowych zgodnie z wymaganiami pkt 12, 13, 14 i 19 Rozporządzenia Ministra Klimatu z dnia 17 lutego 2020 r. (Dz. U. 2020, poz. 258) oraz Rozporządzenia Ministra Klimatu i Środowiska z dnia 6 maja 2022 r. zmieniającego rozporządzenie w sprawie sposobów sprawdzania dotrzymywania dopuszczalnych poziomów pól elektromagnetycznych w środowisku (Dz.U. 2022 poz. 1121).</li><li>2. na obszarze pomiarowym, dla którego, na podstawie uprzednio przeprowadzonych obliczeń stwierdzono w miejscach dostępnych dla ludności występowanie pól elektromagnetycznych o najwyższym poziomie, które pochodzą z badanej instalacji zgodnie z wymaganiami pkt 5 ppkt 2 oraz pkt 13 ppkt 1 Rozporządzenia Ministra Klimatu z dnia 17 lutego 2020 r. w sprawie sposobów sprawdzania dotrzymania dopuszczalnych poziomów pól elektromagnetycznych w środowisku (Dz. U. 2020, poz. 258) oraz Rozporządzenia Ministra Klimatu i Środowiska z dnia 6 maja 2022 r. zmieniającego rozporządzenie w sprawie sposobów sprawdzania dotrzymywania dopuszczalnych poziomów pól elektromagnetycznych w środowisku (Dz.U. 2022 poz. 1121). Wyniki obliczeń nie uwzględniały parametrów pracy instalacji innych operatorów występujących na obiekcie bądź w obszarze pomiarowym.</li><li>3. w miejscach dostępnych dla ludności.</li><li>4. miejsca niedostępne podczas wykonywania pomiarów wskazane zostały w pkt 6 (tabeli wyniki pomiarów).</li></ol>

Szczególne warunki podczas Pomiary wykonane zostały podczas obowiązywania w kraju stanu zagrożenia

„Bez pisemnej zgody Laboratorium niniejsze sprawozdanie nie może być powielane inaczej, jak tylko w całości. Ponadto wyniki dotyczą tylko badanych obiektów przywołanych w niniejszym sprawozdaniu z badań”

wykonywanie pomiarów epidemicznego, zgodnie z art. 122a ust. 1b Ustawy z dnia 27 kwietnia 2001 r. – Prawo ochrony środowiska (Dz. U. z 2019 r. poz. 1396, z późn. zm.9)).

Warunki pracy urządzeń nadawczych Tryb pracy eksploatacyjny.

#### 4. Zróżnicowanie dopuszczalne poziomy pól elektromagnetycznych.

Zakresy znajdują się w Dzienniku Ustaw z dnia 17 grudnia 2019 r. przedstawione są w tabeli nr 2 (Dz. U. z 2019r. poz. 2448).

Parametr fizyczny	Składowa elektryczna E (V/m)	Składowa magnetyczna H (A/m)	Gęstość mocy S (W/m <sup>2</sup> )
Zakres Częstotliwości pola elektromagnetycznego			
od 400 MHz do 2000 MHz	$1,375 \times f^{0,5}$	$0,0037 \times f^{0,5}$	$f / 200$
od 2 GHz do 300 GHz	61	0,16	10

#### 5. Charakterystyka źródeł PEM.

Zgodnie z informacją otrzymaną od Klienta pomiary zostały wykonane przy ustawieniach pochylenia anten zgodnych z pkt. 13, ppkt 2 Rozporządzenia Ministra Klimatu z dnia 17 lutego 2020 roku.

Tabela 1. Anteny sektorowe - dane otrzymane od klienta

Typ anteny	Współrzędne geograficzne	Azymut mechaniczny [°]	Azymut elektryczny [°]	Wysokość zawieszenia anten (środek anteny) n.p.t. [m]	Pasma częstotliwości [MHz]	Zakres pochylenia elektrycznego [°]	Średnie pochylenie anten (ustawione do pomiarów PEM) [°]	Zakres pochylenia mechanicznego [°]	Moc EIRP [W]	Suma EIRP [W]
ATR4518R6V06	22°34'08.04"E 51°13'55.95"N	66	66	28,00	1800	0,0 - 4,0	2,5	0,0	4682	14577
					2100	0,0 - 4,0	2,5		1981	
					2600	0,0 - 4,0	2,5		3270	
					900	0,0 - 4,0	2,5		4644	
ATR4518R6V06	22°34'08.04"E 51°13'55.95"N	180	180	28,00	1800	0,0 - 5,0	3,0	0,0	4845	15072
					2100	0,0 - 5,0	3,0		2057	
					2600	0,0 - 5,0	3,0		3412	
					900	0,0 - 5,0	3,0		4758	
ATR4518R6V06	22°34'08.04"E 51°13'55.95"N	300	300	28,00	1800	0,0 - 5,0	3,0	0,0	4845	15072
					2100	0,0 - 5,0	3,0		2057	
					2600	0,0 - 5,0	3,0		3412	
					900	0,0 - 5,0	3,0		4758	
120115	22°34'08.04"E 51°13'55.95"N	66	66	25,70	2600	2,0 - 3,0	2,5	0,0	16433	16433
120115	22°34'08.04"E 51°13'55.95"N	180	180	25,70	2600	2,0 - 4,0	3,0	0,0	16433	16433
120115	22°34'08.04"E 51°13'55.95"N	300	300	25,70	2600	2,0 - 4,0	3,0	0,0	16433	16433

Tabela 2. Anteny radioliniowe- dane otrzymane od klienta

Typ anteny	Współrzędne geograficzne	Azymut [°]	Średnica [m]	Pasma częstotliwości [GHz]	Zysk energetyczny [dBi]	Moc wyjściowa nadajnika [dBm]	EIRP [W]	Wysokość środka elektrycznego anten n.p.t. [m]
VHLP1-80	22°34'08.04"E 51°13'55.95"N	44	0,3	80	43,5	12	354,81	25,0
VHLP1-80	22°34'08.04"E 51°13'55.95"N	292	0,3	80	43,5	12	354,81	24,5

„Bez pisemnej zgody Laboratorium niniejsze sprawozdanie nie może być powielane inaczej, jak tylko w całości. Ponadto wyniki dotyczą tylko badanych obiektów przywołanych w niniejszym sprawozdaniu z badań”

## 6. Wyniki pomiarów.

Wyniki pomiarów pól elektromagnetycznych dla celów ochrony środowiska przedstawia poniższa tabela. Piony pomiarowe zostały przedstawione w zał. 2.

Nr PP	Pole-E [V/m]	Pole-E, +U [V/m]	Pole-H [A/m]	Pole-H +U [A/m]	Wys. pomiaru [m]	Opis pionu	Uwagi	WM <sub>E</sub>	WM <sub>H</sub>
1	0,7*	1,26	0,002	0,003	0,3-2,0	N:51°13'56.5" E:22°34'11.7"	otoczenie stacji bazowej - 50m wzdłuż gł. osi promieniowania - GKP	0,045	0,046
2	0,7*	1,26	0,002	0,003	0,3-2,0	N:51°13'57.1" E:22°34'13.8"	otoczenie stacji bazowej - 100m wzdłuż gł. osi promieniowania - GKP	0,045	0,046
3	0,7*	1,26	0,002	0,003	0,3-2,0	N:51°13'57.6" E:22°34'16.0"	otoczenie stacji bazowej - 150m wzdłuż gł. osi promieniowania - GKP	0,045	0,046
4	0,7*	1,26	0,002	0,003	0,3-2,0	N:51°13'58.3" E:22°34'18.6"	otoczenie stacji bazowej - 200m wzdłuż gł. osi promieniowania - GKP	0,045	0,046
5	0,7*	1,26	0,002	0,003	0,3-2,0	N:51°13'58.8" E:22°34'20.9"	otoczenie stacji bazowej - 250m wzdłuż gł. osi promieniowania - GKP	0,045	0,046
6	0,7*	1,26	0,002	0,003	0,3-2,0	N:51°13'59.1" E:22°34'22.4"	otoczenie stacji bazowej - 280m wzdłuż gł. osi promieniowania - GKP	0,045	0,046
7	0,9	1,42	0,002	0,004	0,3-2,0	N:51°13'54.7" E:22°34'08.8"	otoczenie stacji bazowej - 40m wzdłuż gł. osi promieniowania - GKP	0,051	0,051
8	0,7*	1,26	0,002	0,003	0,3-2,0	N:51°13'53.6" E:22°34'08.8"	otoczenie stacji bazowej - 75m wzdłuż gł. osi promieniowania - GKP	0,045	0,046
9	1,0	1,57	0,003	0,004	0,3-2,0	N:51°13'56.5" E:22°34'07.6"	otoczenie stacji bazowej - 25m wzdłuż gł. osi promieniowania - GKP	0,056	0,057
10	0,7*	1,26	0,002	0,003	0,3-2,0	N:51°13'57.5" E:22°34'04.6"	otoczenie stacji bazowej - 100m wzdłuż gł. osi promieniowania - GKP	0,045	0,046
11	0,7*	1,26	0,002	0,003	0,3-2,0	N:51°13'58.3" E:22°34'02.4"	otoczenie stacji bazowej - 150m wzdłuż gł. osi promieniowania - GKP	0,045	0,046
12	0,7*	1,26	0,002	0,003	0,3-2,0	N:51°13'59.3" E:22°33'59.7"	otoczenie stacji bazowej - 200m wzdłuż gł. osi promieniowania - GKP	0,045	0,046
13	0,7*	1,26	0,002	0,003	0,3-2,0	N:51°14'00.2" E:22°33'57.3"	otoczenie stacji bazowej - 250m wzdłuż gł. osi promieniowania - GKP	0,045	0,046
14	0,7*	1,26	0,002	0,003	0,3-2,0	N:51°14'00.5" E:22°33'56.2"	otoczenie stacji bazowej - 280m wzdłuż gł. osi promieniowania - GKP	0,045	0,046
15	0,7*	1,26	0,002	0,003	0,3-2,0	N:51°13'58.7" E:22°34'12.5"	otoczenie stacji bazowej - 100m wzdłuż gł. osi promieniowania - GKP	0,045	0,046
16	0,7*	1,26	0,002	0,003	0,3-2,0	N:51°13'57.1" E:22°34'04.0"	otoczenie stacji bazowej - 100m wzdłuż gł. osi promieniowania - GKP	0,045	0,046
17	0,8	1,26	0,002	0,003	0,3-2,0	N:51°13'55.2" E:22°34'06.9"	otoczenie stacji bazowej - GKP	0,045	0,046
18	0,7*	1,26	0,002	0,003	0,3-2,0	N:51°13'55.1" E:22°34'04.4"	otoczenie stacji bazowej - GKP	0,045	0,046
19	0,9	1,42	0,002	0,004	0,3-2,0	N:51°13'57.8" E:22°34'08.5"	otoczenie stacji bazowej - GKP	0,051	0,051
20	0,7*	1,26	0,002	0,003	0,3-2,0	N:51°13'59.5" E:22°34'09.8"	otoczenie stacji bazowej - GKP	0,045	0,046
A	0,8	1,26	0,002	0,003	0,3-2,0	N:51°13'56.2" E:22°34'09.6"	Pocztowa 2, pomiar przed budynkiem -DPP	0,045	0,046
B	0,8	1,26	0,002	0,003	0,3-2,0	N:51°13'56.6" E:22°34'08.1"	1 Maja 42, pomiar przed budynkiem -DPP	0,045	0,046
C	0,7*	1,26	0,002	0,003	0,3-2,0	N:51°13'57.1" E:22°34'08.4"	1 Maja 40, pomiar przed budynkiem -DPP	0,045	0,046
D	0,7*	1,26	0,002	0,003	0,3-2,0	N:51°13'57.6" E:22°34'08.9"	1 Maja 38, pomiar przed budynkiem -DPP	0,045	0,046
E	0,7*	1,26	0,002	0,003	0,3-2,0	N:51°13'57.9" E:22°34'09.1"	1 Maja 36, pomiar przed budynkiem -DPP	0,045	0,046
F	0,7*	1,26	0,002	0,003	0,3-2,0	N:51°13'58.5" E:22°34'09.4"	1 Maja 34, pomiar przed budynkiem -DPP	0,045	0,046
G	0,7*	1,26	0,002	0,003	0,3-2,0	N:51°13'59.3" E:22°34'10.1"	1 Maja 32, pomiar przed budynkiem -DPP	0,045	0,046
H	0,7*	1,26	0,002	0,003	0,3-2,0	N:51°13'59.2" E:22°34'09.1"	1 Maja 47, pomiar przed budynkiem -DPP	0,045	0,046

„Bez pisemnej zgody Laboratorium niniejsze sprawozdanie nie może być powielane inaczej, jak tylko w całości. Ponadto wyniki dotyczą tylko badanych obiektów przywołanych w niniejszym sprawozdaniu z badań”

I	0,7*	1,26	0,002	0,003	0,3-2,0	N:51°13'58.7" E:22°34'08.8"	1 Maja 49, pomiar przed budynkiem -DPP	0,045	0,046
J	0,7*	1,26	0,002	0,003	0,3-2,0	N:51°13'58.1" E:22°34'08.4"	1 Maja 51, pomiar przed budynkiem -DPP	0,045	0,046
K	0,7*	1,26	0,002	0,003	0,3-2,0	N:51°13'57.5" E:22°34'07.9"	1 Maja 53, pomiar przed budynkiem -DPP	0,045	0,046
L	0,7*	1,26	0,002	0,003	0,3-2,0	N:51°13'57.1" E:22°34'07.7"	1 Maja 55, pomiar przed budynkiem -DPP	0,045	0,046
M	0,7*	1,26	0,002	0,003	0,3-2,0	N:51°13'56.6" E:22°34'07.2"	1 Maja 57, pomiar przed budynkiem -DPP	0,045	0,046
N	0,8	1,26	0,002	0,003	0,3-2,0	N:51°13'56.0" E:22°34'06.6"	Plac Dworcowa 4a, pomiar przed budynkiem -DPP	0,045	0,046
O	0,8	1,26	0,002	0,003	0,3-2,0	N:51°13'55.5" E:22°34'05.7"	Plac Dworcowa 4, pomiar przed budynkiem -DPP	0,045	0,046
P	0,7*	1,26	0,002	0,003	0,3-2,0	N:51°13'55.8" E:22°34'08.0"	1 Maja 44, pomiar przed budynkiem -DPP	0,045	0,046
R	0,7*	1,26	0,002	0,003	0,3-2,0	N:51°13'53.9" E:22°34'07.8"	Dworcowa 1, pomiar przed budynkiem -DPP	0,045	0,046
S	0,8	1,26	0,002	0,003	0,3-2,0	N:51°13'56.1" E:22°34'09.5"	Pocztowa 2, pomiar przed budynkiem -DPP	0,045	0,046
T	0,7*	1,26	0,002	0,003	0,3-2,0	N:51°13'56.5" E:22°34'10.0"	Pocztowa 4, pomiar przed budynkiem -DPP	0,045	0,046
U	0,7*	1,26	0,002	0,003	0,3-2,0	N:51°13'56.7" E:22°34'10.7"	1 Maja 38a, pomiar przed budynkiem -DPP	0,045	0,046
W	0,7*	1,26	0,002	0,003	0,3-2,0	N:51°13'57.4" E:22°34'11.1"	Pocztowa 8, pomiar przed budynkiem -DPP	0,045	0,046
V	0,7*	1,26	0,002	0,003	0,3-2,0	N:51°13'58.5" E:22°34'11.9"	Pocztowa 8a, pomiar przed budynkiem -DPP	0,045	0,046
X	0,7*	1,26	0,002	0,003	0,3-2,0	N:51°13'58.3" E:22°34'17.4"	Kunickiego 26a, pomiar przed budynkiem -DPP	0,045	0,046
Y	0,7*	1,26	0,002	0,003	0,3-2,0	N:51°13'58.7" E:22°34'05.1"	Młyńska 14a, pomiar przed budynkiem -DPP	0,045	0,046
Z	0,8	1,26	0,002	0,003	0,3-2,0	N:51°13'56.2" E:22°34'10.9"	Pocztowa 1, pomiar przed budynkiem -DPP	0,045	0,046
A1	0,7*	1,26	0,002	0,003	0,3-2,0	N:51°13'58.3" E:22°34'03.6"	Młyńska 14, pomiar przed budynkiem -DPP	0,045	0,046
B1	Brak dostępu - torowisko								

Wynik pomiaru pole - E [V/m] - maksymalna wartość chwilowa zmierzona w danym pionie pomiarowym (uśredniona na podstawie punktu 11 załącznika do Rozporządzenia Ministra Klimatu z dnia 17 lutego 2020 r. w sprawie sposobów sprawdzania dotrzymania dopuszczalnych poziomów pól elektromagnetycznych w środowisku (Dz.U. 2020 poz. 258, Dz.U. 2022 poz. 1121)). Zgodnie z pkt. 7 załącznika do Rozporządzenia Ministra Klimatu z dnia 17 lutego 2020 r. w sprawie sposobów sprawdzania dotrzymania dopuszczalnych poziomów pól elektromagnetycznych w środowisku (Dz.U. 2020 poz. 258, Dz.U. 2022 poz. 1121) nie stosuje się poprawek pomiarowych.

Przyjęto najniższą dopuszczalną wartość składowej elektrycznej pola dla objętego pomiarami zakresu częstotliwości  $\min(ME_{gr}) = 28 \text{ V/m}$  oraz składowej magnetycznej  $\min(MH_{gr}) = 0,073 \text{ A/m}$ .

\* - wartość zmierzona poniżej zakresu akredytacji. Do obliczeń przyjęto wartość zgodną z dolną granicą akredytowanego zakresu pomiarowego metody.

GKP - główne kierunki pomiarowe

PKP - pomocnicze kierunki pomiarowe

DPP - dodatkowe punkty pomiarowe

PP - pion pomiarowy

U - niepewność pomiarowa rozszerzona, przy poziomie ufności 95%, z uwzględnieniem współczynnika rozszerzenia  $k=2$

$WM_E$  - wartość wskaźnikowa poziomu emisji pól elektromagnetycznych dla miejsc dostępnych dla ludności dla składowej elektrycznej pola

$WM_H$  - wartość wskaźnikowa poziomu emisji pól elektromagnetycznych dla miejsc dostępnych dla ludności dla składowej magnetycznej pola

## 7. Stwierdzenie zgodności

Na podstawie wytycznych podanych w Rozporządzeniu Ministra Zdrowia z dnia 17 grudnia 2019 r. w sprawie dopuszczalnych poziomów pól elektromagnetycznych w środowisku (Dz.U. 2019 poz. 2448) oraz sposobów

„Bez pisemnej zgody Laboratorium niniejsze sprawozdanie nie może być powielane inaczej, jak tylko w całości. Ponadto wyniki dotyczą tylko badanych obiektów przywołanych w niniejszym sprawozdaniu z badań”

sprawdzania dotrzymania tych poziomów zgodnie z Rozporządzeniem Ministra Klimatu z dnia 17 lutego 2020 r. w sprawie sposobów sprawdzania dotrzymania dopuszczalnych poziomów pól elektromagnetycznych w środowisku (Dz.U. 2020 poz. 258) oraz Rozporządzeniem Ministra Klimatu i Środowiska z dnia 6 maja 2022 r. zmieniającego rozporządzenie w sprawie sposobów sprawdzania dotrzymania dopuszczalnych poziomów pól elektromagnetycznych w środowisku (Dz.U. 2022 poz. 1121), dotyczących źródła wymagań, które muszą być spełnione, w oparciu o zasadę podejmowania decyzji zgodną z pkt. 26 Rozporządzenia Ministra Klimatu z dnia 17 lutego 2020 r. (Dz.U. 2020 poz. 258), na podstawie wyników pomiarów pól elektromagnetycznych wykonanych w dniu 09.03.2023 stwierdzono, że wszystkie wyniki przeprowadzonych pomiarów w danym obszarze pomiarowym oraz wyznaczone na tej podstawie wskaźniki WME oraz WMH są mniejsze od wartości dopuszczalnych – zgodnie z przepisami wydanymi na podstawie art. 122 ust. 1 ustawy z dnia 27 kwietnia 2001 r. – Prawo ochrony środowiska – załącznikiem do Rozporządzenia Ministra Klimatu i Środowiska z dnia 17 lutego 2020 r. w sprawie sposobów sprawdzania dotrzymania dopuszczalnych poziomów pól elektromagnetycznych w środowisku (Dz.U. 2020 poz. 258, pkt 26).

## 8. Oświadczenie.

Wyniki badania odnoszą się wyłącznie do badanego obiektu.

Bez pisemnej zgody sprawozdanie nie może być powielane inaczej, jak tylko w całości.

Uwagi i zastrzeżenia przyjmowane są w formie pisemnej.

## 9. Spis załączników.

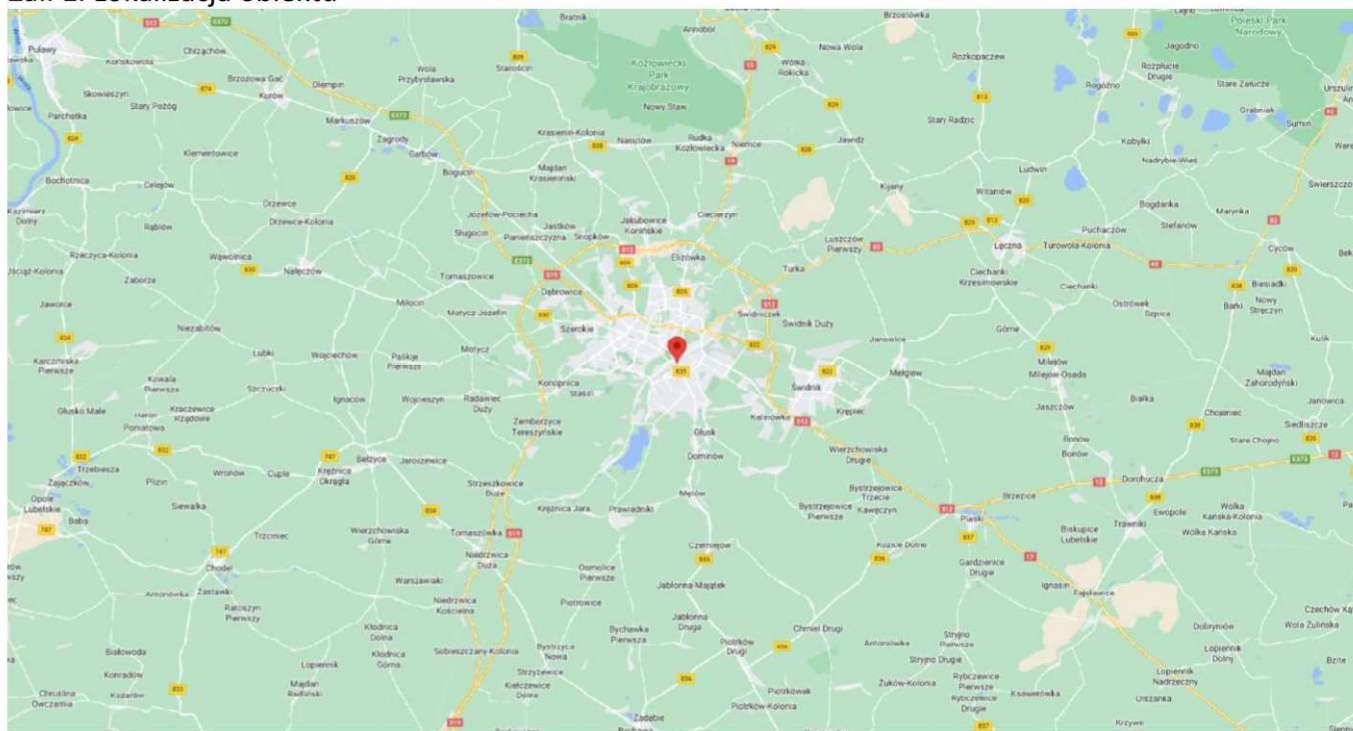
Załącznik 1. Lokalizacja obiektu.

Załącznik 2. Widok pionowy pomiarowych

Załącznik 3. Załączniki graficzne

### Koniec sprawozdania

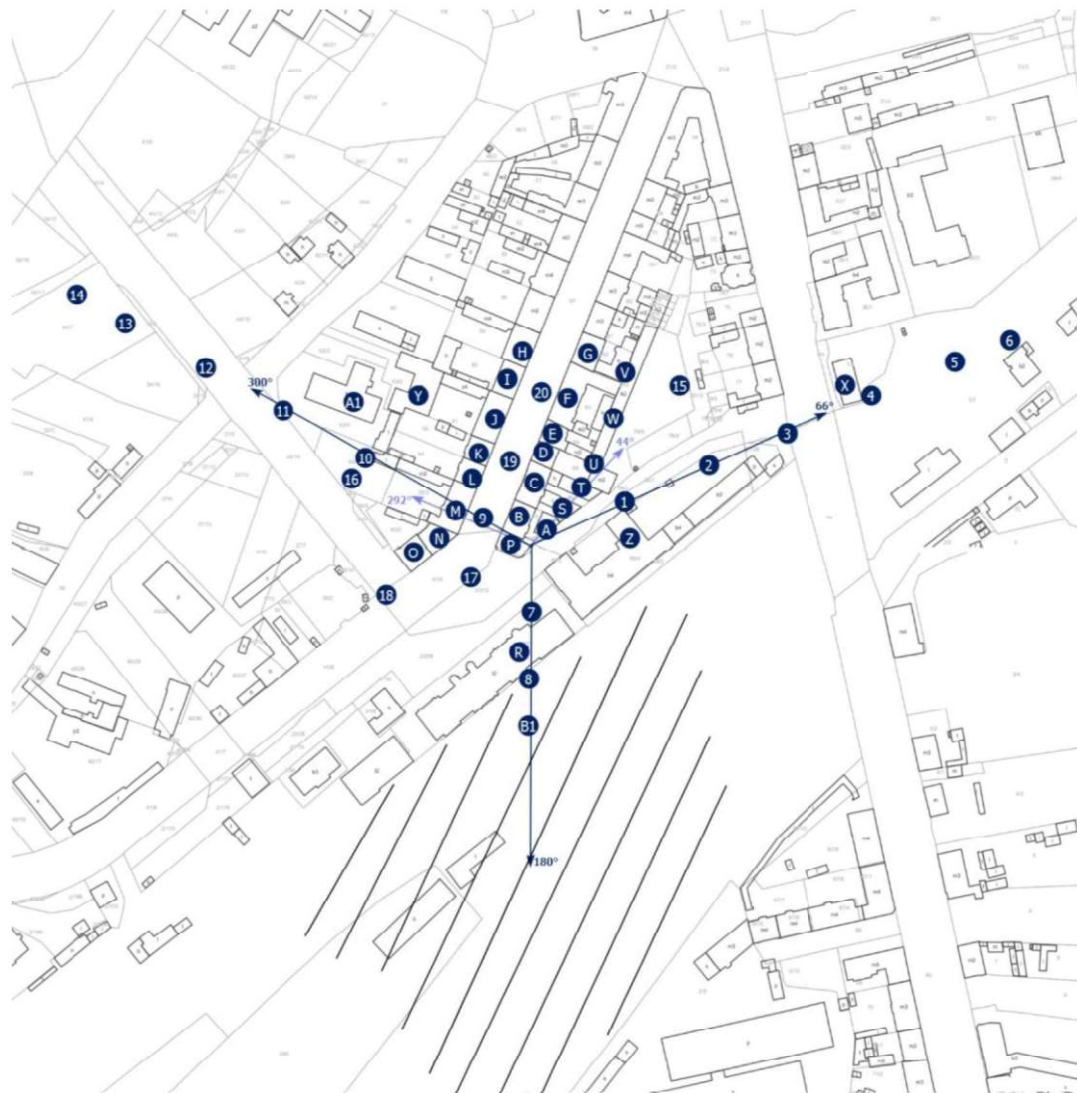
#### Załącznik 1. Lokalizacja obiektu



Współrzędne geograficzne	
długość:	22°34'08.04"E
szerokość:	51°13'55.95"N



Załącznik 2. Widok pionów pomiarowych



LEGENDA:



inna instalacja radiokomunikacyjna



brak dostępu



pion pomiaru



antena sektorowa



antena radioliowa

Skala:1:5000



### Załącznik 3. Załączniki graficzne.

